

## ПОРОГИ ПУЧКОВОЙ НЕУСТОЙЧИВОСТИ ТОКА В ПРЯМОМ РАЗРЯДЕ

А. Н. Карчевский, Ю. И. Стразов

В сильноточном прямом разряде при создании условий для убегания электронов возбуждается неустойчивость, которая приводит к переносу всего тока разряда пучками ускоренных электронов и срыву тока разряда [1]. На установке АСПА [1] исследовалось возбуждение при срыве тока прямого разряда аномального сопротивления  $R$  и его зависимость от начальной плотности плазмы  $n_{e0}$  и зарядного напряжения на конденсаторе  $U_0$ . Параметры разрядного контура: ток до 30 кА, период – 1,6 мксек, емкость – 0,2 мкф (50 кВ), сечение токового канала  $\sim 80$  см<sup>2</sup>, начальная плотность плазмы  $n_{e0}$  от  $1 \cdot 10^{12}$  до  $3 \cdot 10^{13}$  см<sup>-3</sup>.

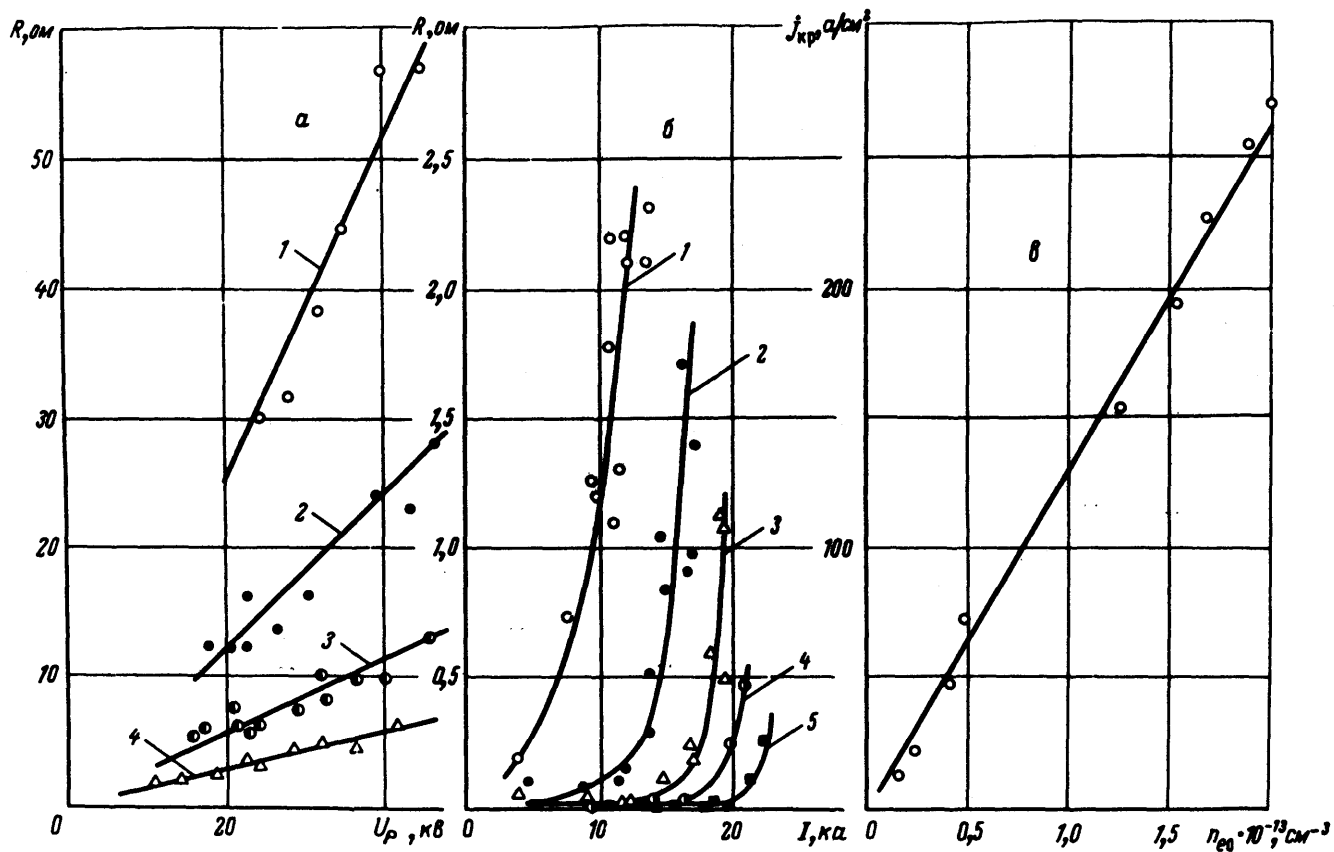


Рис. 1. а – зависимость сопротивления плазмы  $R$  от напряжения  $U$  на разряде в момент возбуждения неустойчивости (апериодический режим): 1 –  $1,5 \cdot 10^{12} \text{ см}^{-3}$ , 2 –  $2,5 \cdot 10^{12} \text{ см}^{-3}$ , 3 –  $4,0 \cdot 10^{12} \text{ см}^{-3}$ , 4 –  $5,0 \cdot 10^{12} \text{ см}^{-3}$ ; б – зависимость сопротивления  $R$  плазмы от амплитуды тока разряда  $I$  (колебательный режим): 1 –  $1,2 \cdot 10^{13} \text{ см}^{-3}$ , 2 –  $1,5 \times 10^{13} \text{ см}^{-3}$ , 3 –  $1,7 \cdot 10^{13} \text{ см}^{-3}$ , 4 –  $1,9 \cdot 10^{13} \text{ см}^{-3}$ , 5 –  $2,0 \cdot 10^{13} \text{ см}^{-3}$ ; в – зависимость критической плотности тока  $j_{кр}$  от начальной плотности плазмы  $n_{e0}$ . Водород – однородное магнитное поле,  $H_0 = 600 \text{ э}$ , расстояние между сетчатыми электродами для приведенных кривых  $L = 5 \text{ см}$  и  $L = 28 \text{ см}$

Разряд возбуждался в однородном магнитном поле  $H_0$  при расстоянии между электродами  $L = 5$  см или  $L = 28$  см. Электронный пучок из газоразрядной зоны выводился через сетчатый анод и исследовалось его распространение вдоль магнитного поля в эквипотенциальном пространстве, заполненном плазмой. На расстоянии 20 см от сетчатого анода по тормозному рентгеновскому излучению с мишени измерялись плотность пучкового тока и энергия электронов. Параметры электронного пучка: полный ток до 25 кА, энергия электронов до 30 кВ, длительность пучка  $0,2 \div 1,5$  мксек, площадь сечения пучка  $\sim 100$  см<sup>2</sup>.

При низких плотностях плазмы  $n_{e0} < 1 \cdot 10^{13}$  см<sup>-3</sup> сопротивление плазменного промежутка значительно превышало волновое сопротивление контура  $Z_{\text{волн}} = 1,2 \Omega$  (апериодический разряд). В апериодическом режиме регулируемые параметрами являются начальная плотность плазмы  $n_{e0}$  и напряжение на разряде  $U_p$ , а ток разряда задается сопротивлением плазмы. Линейная зависимость  $R$  от  $U_p$  показывает (рис. 1, а), что при заданной плотности плазмы  $n_{e0}$  при возбуждении неустойчивости амплитуда тока ограничивается на определенной критической величине и соответствующая ей критическая плотность тока не зависит от приложенного к плазме напряжения.

При более высоких плотностях плазмы  $n_{e0} > 1 \cdot 10^{13}$  см<sup>-3</sup>, сопротивление плазмы  $R$  значительно меньше  $Z_{\text{волн}}$  (колебательный разряд), и регулируемым параметром в разряде, помимо  $n_{e0}$ , является амплитуда тока разряда  $I$ . При увеличении  $I$  (путем роста  $U_0$ ) наблюдается ограничение  $I$  и срыв тока разряда. По рис. 1, б можно проследить, как при определенной плотности тока  $i_{\text{кр}}$  появляется аномальное сопротивление в плазме. Данные кривых 1, а и 1, б, пересчитанные на критическую плотность тока  $i_{\text{кр}}$  и ее зависимость от  $n_{e0}$ , показаны на рис. 1, б. Критическая дрейфовая скорость, при которой возбуждается неустойчивость, составляет  $\sim 2 \text{ эв}$  и хорошо соответствует тепловой энергии электронов газоразрядной плазмы. Линейная зависимость  $i_{\text{кр}}$  от  $n_{e0}$  в апериодическом и колебательном режимах разряда указывает на тождественность физической природы наблюдаемой неустойчивости в различных режимах.

Плотность электронного пучка, формируемого при срыве тока разряда, совпадает с плотностью газоразрядного тока, а энергия электронов в пучке хорошо соответствует напряжению  $U_p$ , приложенному к плазме. В соответствии с изменением в разряде  $U_p$  и тока разряда  $I$  меняется и интенсивность вспышки рентгеновского излучения  $J_x$  с мишени, вводимой в область распространения пучка (рис. 2). Точки 1, 2 (рис. 2) имеют абсолютную калибровку интенсивности рентгеновского излучения для определения энергии и плотности тока пучковых электронов. Точка 1 калибровалась методом фотографической дозиметрии. Методом поглощения в алюминиевых фольгах определена энергия рентгеновского излучения  $9,0 \pm 1,0$  кэВ при  $\bar{U}_p$  равном 24 кВ. Путем сравнения с почернением пленки от излучения рентгеновской трубки, напряжение на которой поддерживалось равным  $\bar{U}_p$ , получено, что плотность тока ускоренных электронов на мишень для точки 1 составляет 125 а/см<sup>2</sup> при полном токе разряда  $I = 8,3$  кА, плотности тока в разряде  $\sim 100$  а/см<sup>2</sup> и  $U_p = 24$  кВ. Вторая точка 2 (рис. 2) калибровалась по интенсивности рент-

геновского излучения  $J_x$ , измеряемого током ФЭУ. Световой выход пластического сцинтиллятора определялся по трем линиям  $\gamma$ -излучения:  $\text{Fe}^{57}$  122 и 14,4 кэв и  $\text{Sn}^{119}$  23,8 кэв. При расчете плотности пучкового тока использовалась максимальная величина  $U_p$ . Плотность пучкового тока на мишень оказалась равной  $110 \text{ а/см}^2$  при параметрах разряда  $I = 10,5 \text{ ка}$ ,  $\bar{U}_p = 29,5 \pm 1,5 \text{ кэв}$ ,  $i_{\text{разр}} \approx 130 \text{ а/см}^2$ , а эффективная энергия рентгеновского излучения, измеренная с помощью ФЭУ по слоям половинного поглощения, составляла  $10,5 \pm 1,5 \text{ кэв}$ .

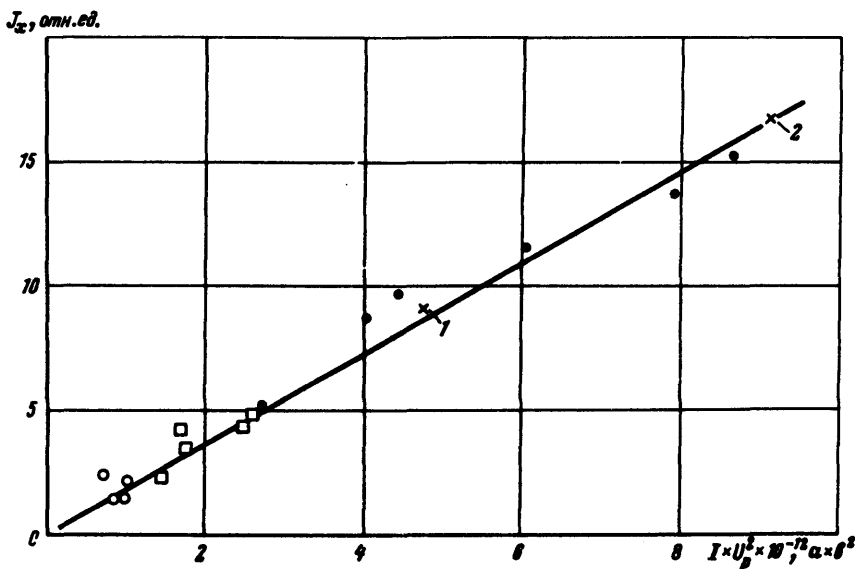


Рис. 2. Зависимость интенсивности тормозного рентгеновского излучения  $J_x$  с мишени от произведения полного тока разряда  $I$  (в амперах) на квадрат напряжения  $U_p$  (в вольтах) на разряде в момент вспышки рентгеновского излучения:  $\circ - U_0 = 22 \text{ кэв}$ ,  $\square - U_0 = 33 \text{ кэв}$ ,  $\bullet - U_0 = 45 \text{ кэв}$ . Водород, плотность плазмы  $n_{e0}$  изменялась от  $3 \cdot 10^{12}$  до  $1,8 \cdot 10^{13} \text{ см}^{-3}$ , однородное магнитное поле,  $H_0 = 600 \text{ э}$

Совпадение результатов двух различных методов абсолютной калибровки потока ускоренных электронов и хорошее соответствие этих данных с термозондовыми [1], дают возможность утверждать, что вся диссипируемая на аномальном сопротивлении разряда энергия расходуется на ускорение электронов и выносится через анод пучками ускоренных электронов. Таким образом, в прямом разряде при изменении  $n_{e0}$  от  $1 \cdot 10^{12}$  до  $2,5 \cdot 10^{13} \text{ см}^{-3}$  возбуждается неустойчивость тока на дрейфовой скорости электронов близкой к тепловой. Результатом развития этой неустойчивости является процесс срыва тока разряда и перехода в режим, когда весь ток разряда переносится ускоренными электронами с энергией близкой к активному падению напряжения на разрядном промежутке. При этом значительная доля энергии разрядного контура ( $20 + 80\%$ ) расходуется в течение короткого промежут-

ка времени  $0,2 + 1,5 \text{ мксек}$  на создание мощного импульсного пучка электронов. Порог этой неустойчивости соответствует расчетам Бунемана [2], но результат ее развития, процесс диссипации энергии и переноса тока скорее отвечает гипотезе Б.Б.Кадомцева [3] об уменьшении эффективной плотности носителей тока в плазме. Ионно-звуковая неустойчивость не может объяснить наблюдаемое аномальное сопротивление, поскольку электрическое поле в плазме превышает критическое поле Филда и Фрида [4]. Неустойчивость тока разряда типа срыва наблюдалась также и в тороидальных системах (см. библиографию в [1]).

Очень важным представляется наблюдение такой неустойчивости тока при значительно более высоких плотностях плазмы в разрядах типа плазменного фокуса [5, 6]. Как показывает эксперимент [5, 6], трансформация энергии в этих разрядах также происходит с очень высоким КПД ( $20 + 30\%$ ) в энергию пучка ускоренных электронов, переносящих весь ток разряда. Поэтому нельзя считать исключенной возможность в этих системах пучкового нагрева ионов и электронов плазмы, который может играть определяющую роль в энергетическом балансе нагреваемой плазмы и давать большой вклад в эффект последующего создания вспышки нейтронного излучения.

Авторы благодарят И.К.Кикоина, Б.Б.Кадомцева и Н.В.Филиппова за ряд полезных дискуссий.

Поступила в редакцию  
12 апреля 1971 г.

### Литература

- [1] А.И.Карчевский, В.Г.Аверин, В.Н.Безмельницын. Письма в ЖЭТФ, 10, 26, 1969; ЖЭТФ, 58, 1131, 1970.
- [2] O.Buneman. Phys. Rev., 115, 503, 1959.
- [3] Б.Б.Кадомцев. Вопросы теории и плазмы. Атомиздат, 4, 327, 1964.
- [4] C.Field, B.D.Fried. Phys. Fluids, 7, 12, 1964.
- [5] В.И.Агафонов, Г.В.Голуб, Л.Г.Голубчиков, В.Ф.Дьяченко, В.Д.Иванов, В.С.Имшенник, Ю.А.Колесников, Э.Б.Свирский, Н.В.Филиппов, Т.Н.Филиппова. Plasma physics and controlled nuclear fusion research, IAEA, Vienna, 2, 21, 1969.
- [6] M.J.Bernstein, D.A.Meskan, H.L.L. van Paassen, Phys. Fluids., 12, 2193, 1969.